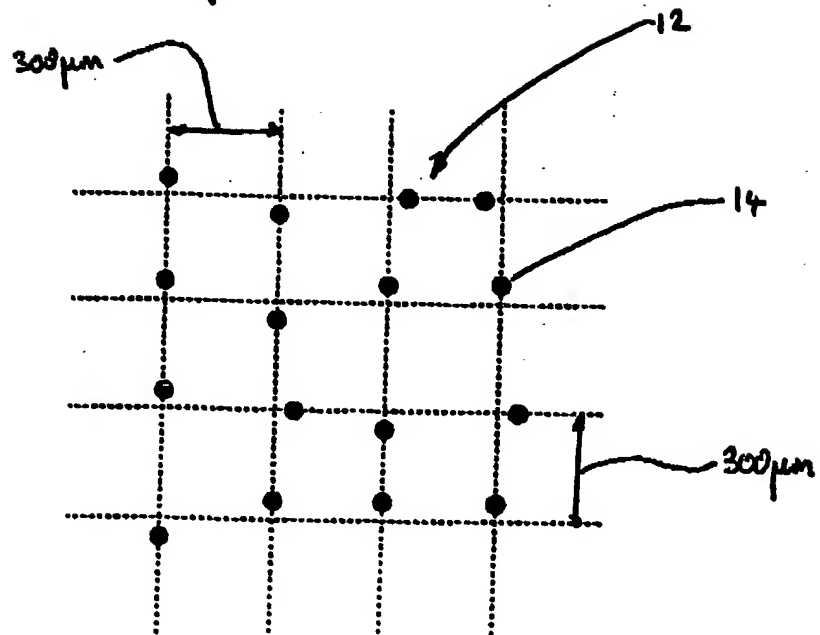
Fig 1 (PRIOR ART)

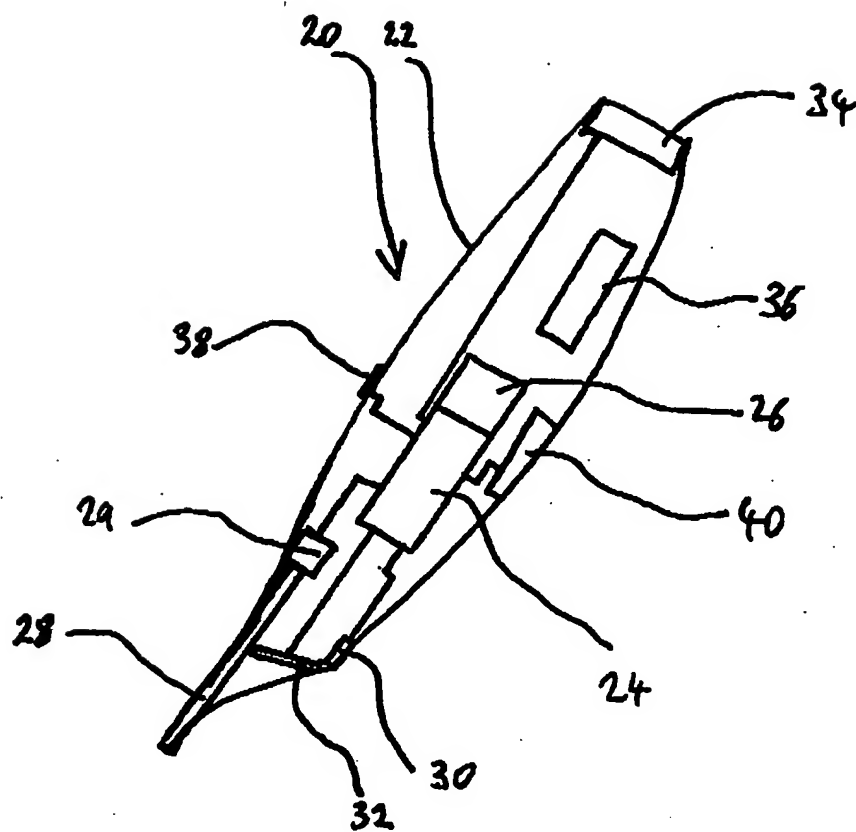


FIG 2
(PRIOR ART)

3/26

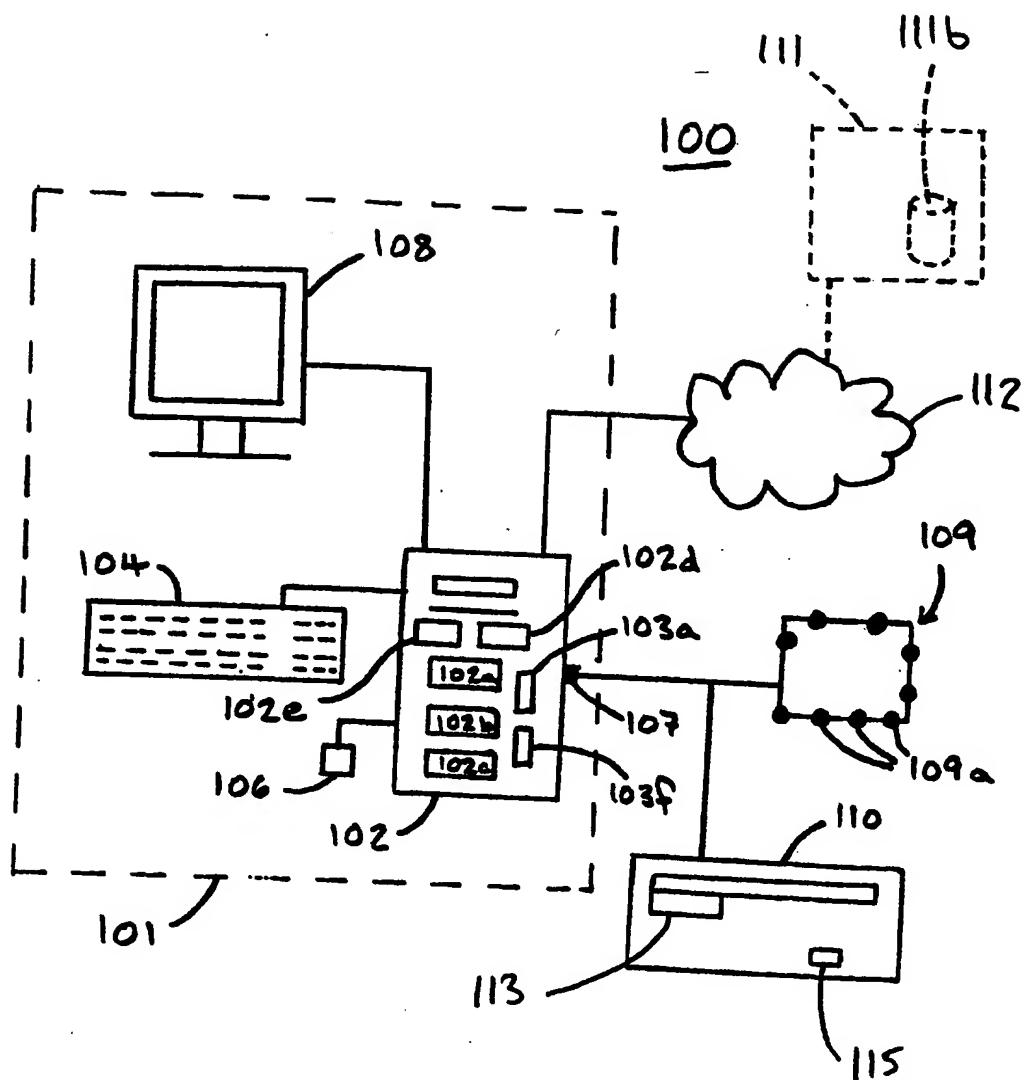


FIG. 3

4/26

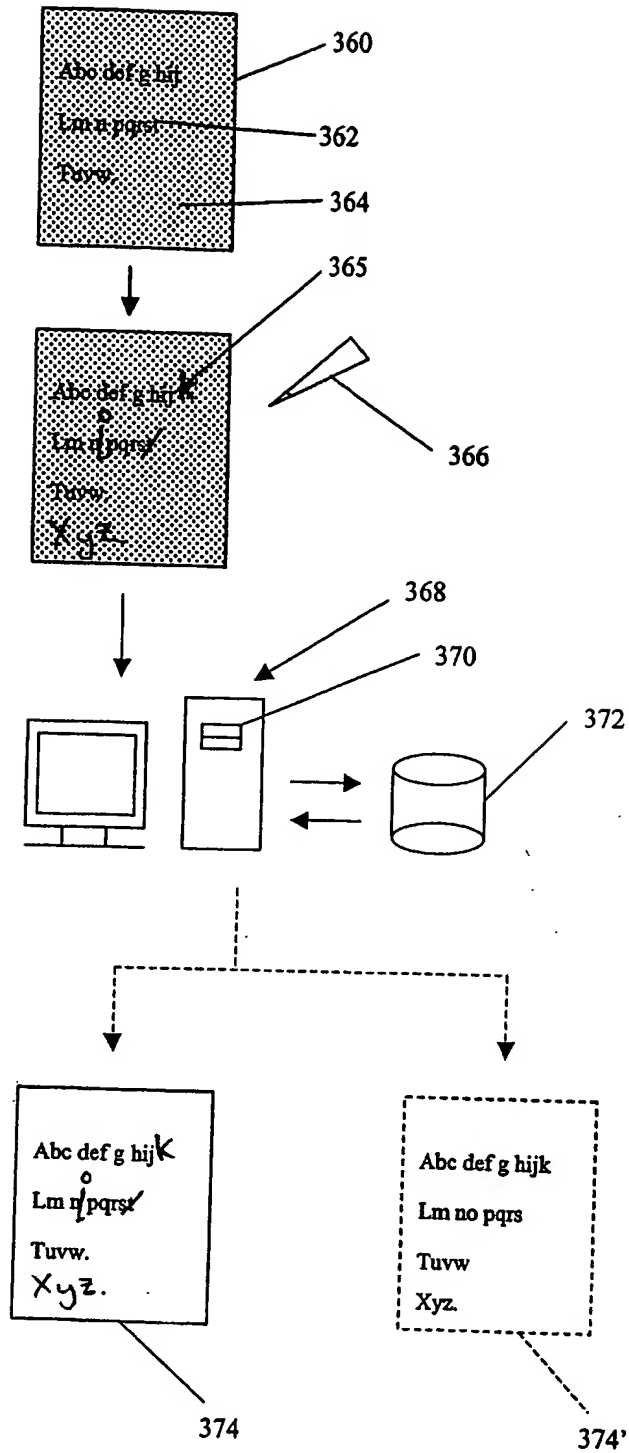


Fig. 3a

5/26

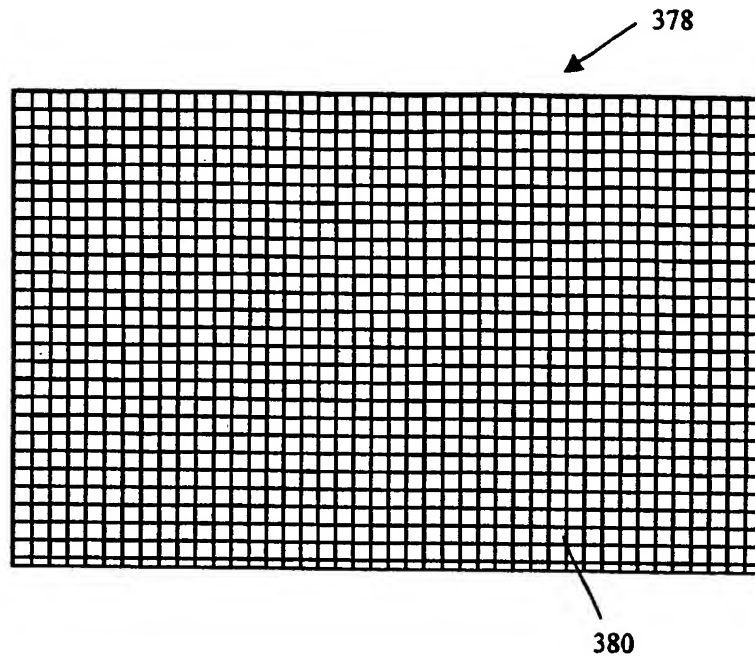


Fig. 3b

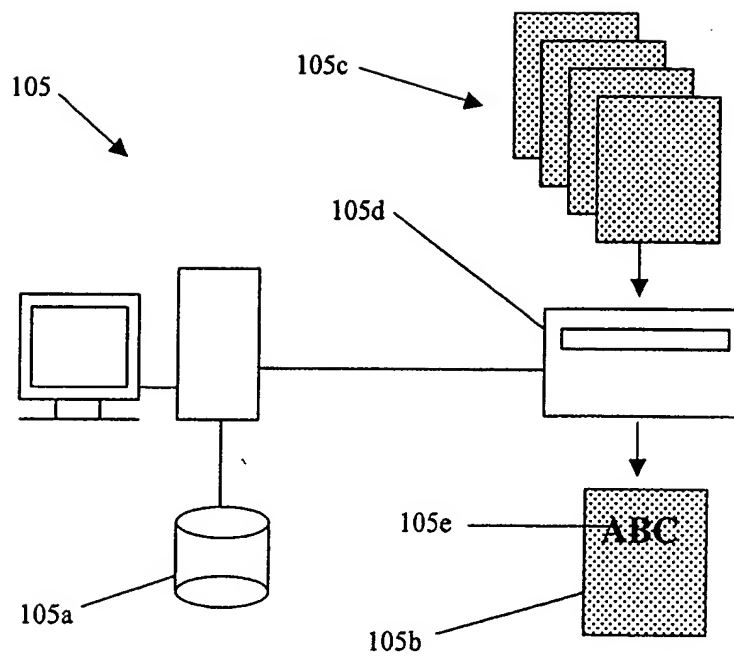


Fig. 3c

6/26

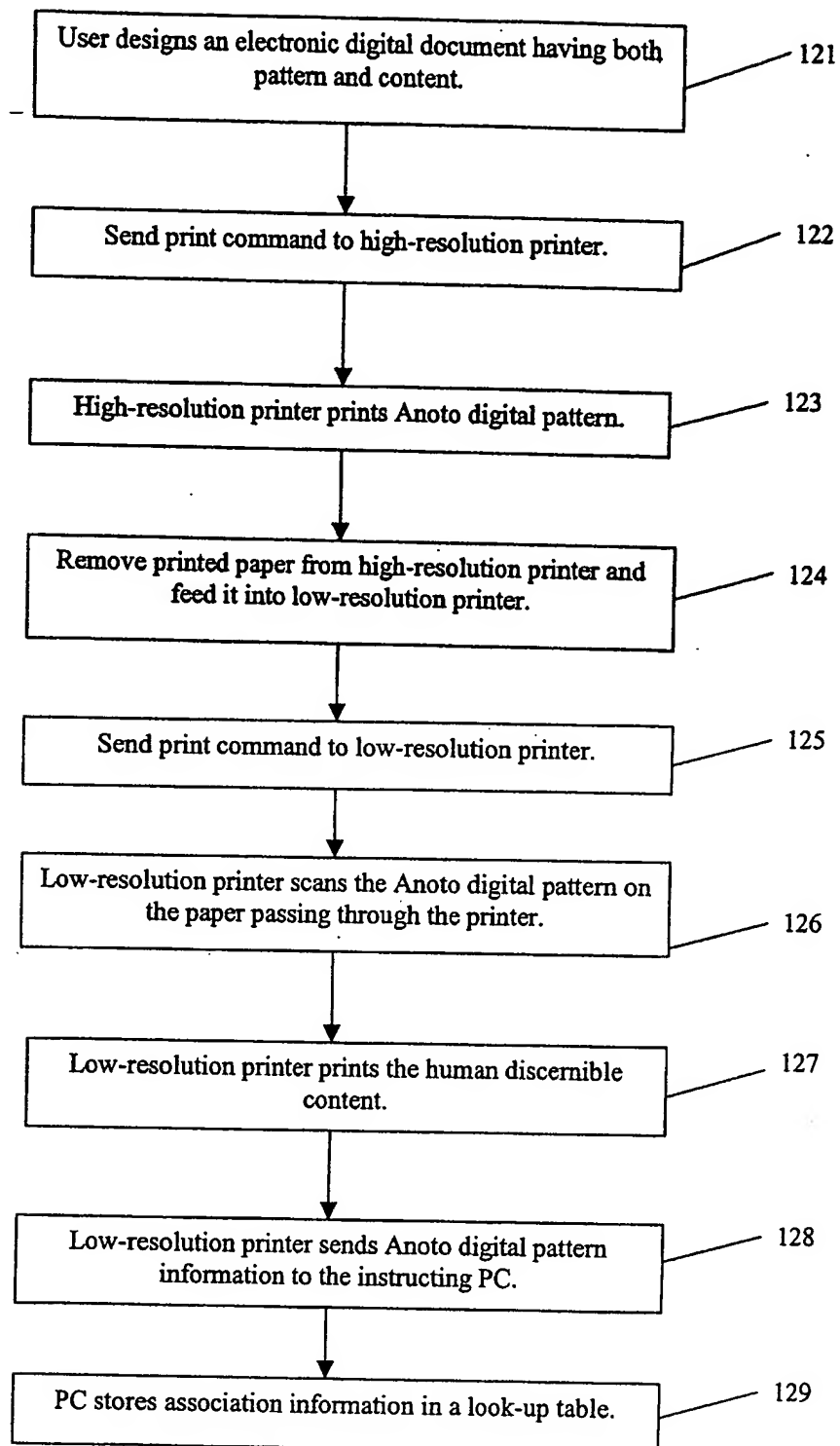


Fig. 4

7/26

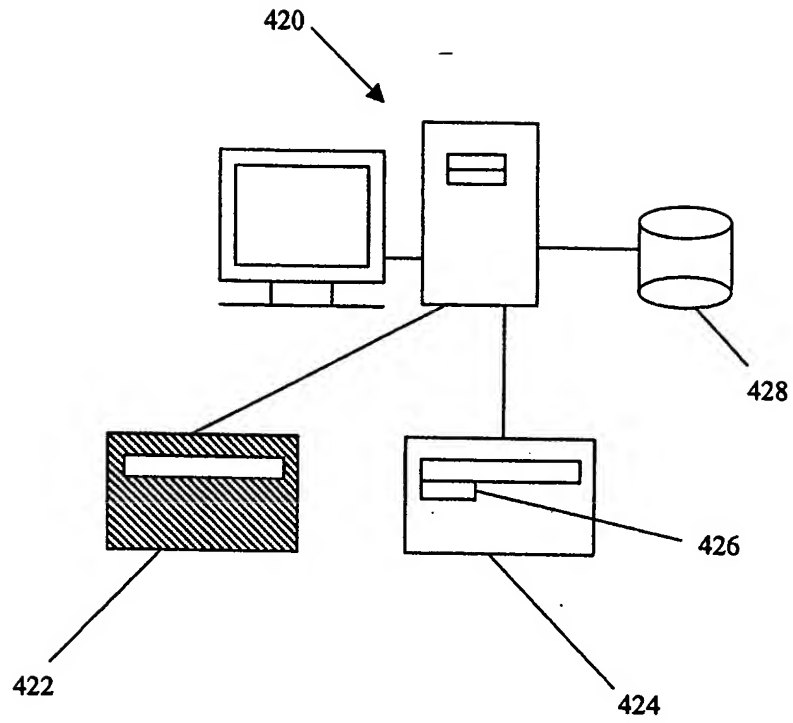


Fig. 4a

8/26

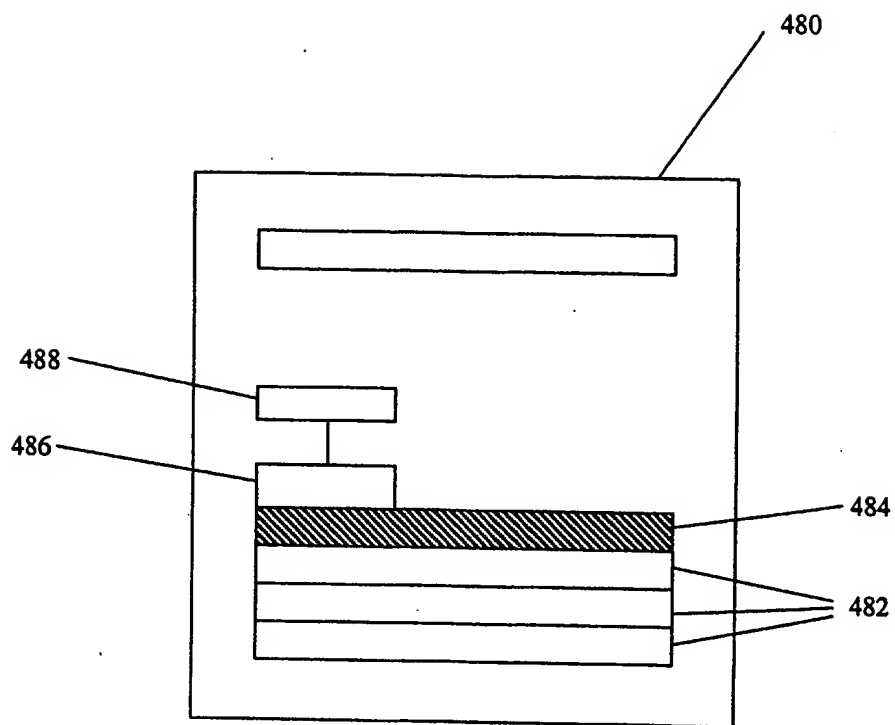


Fig. 4b

9/26

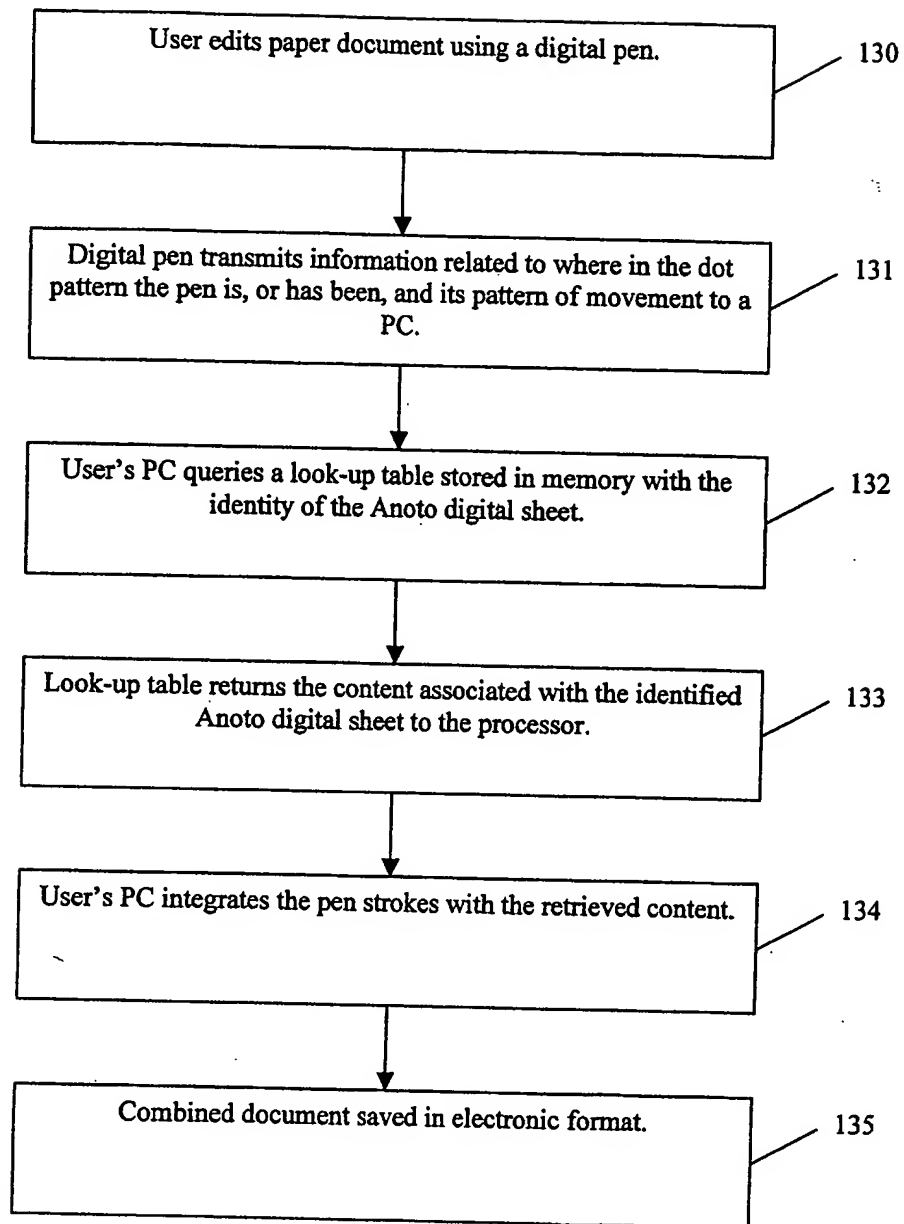


Fig. 5

10/26

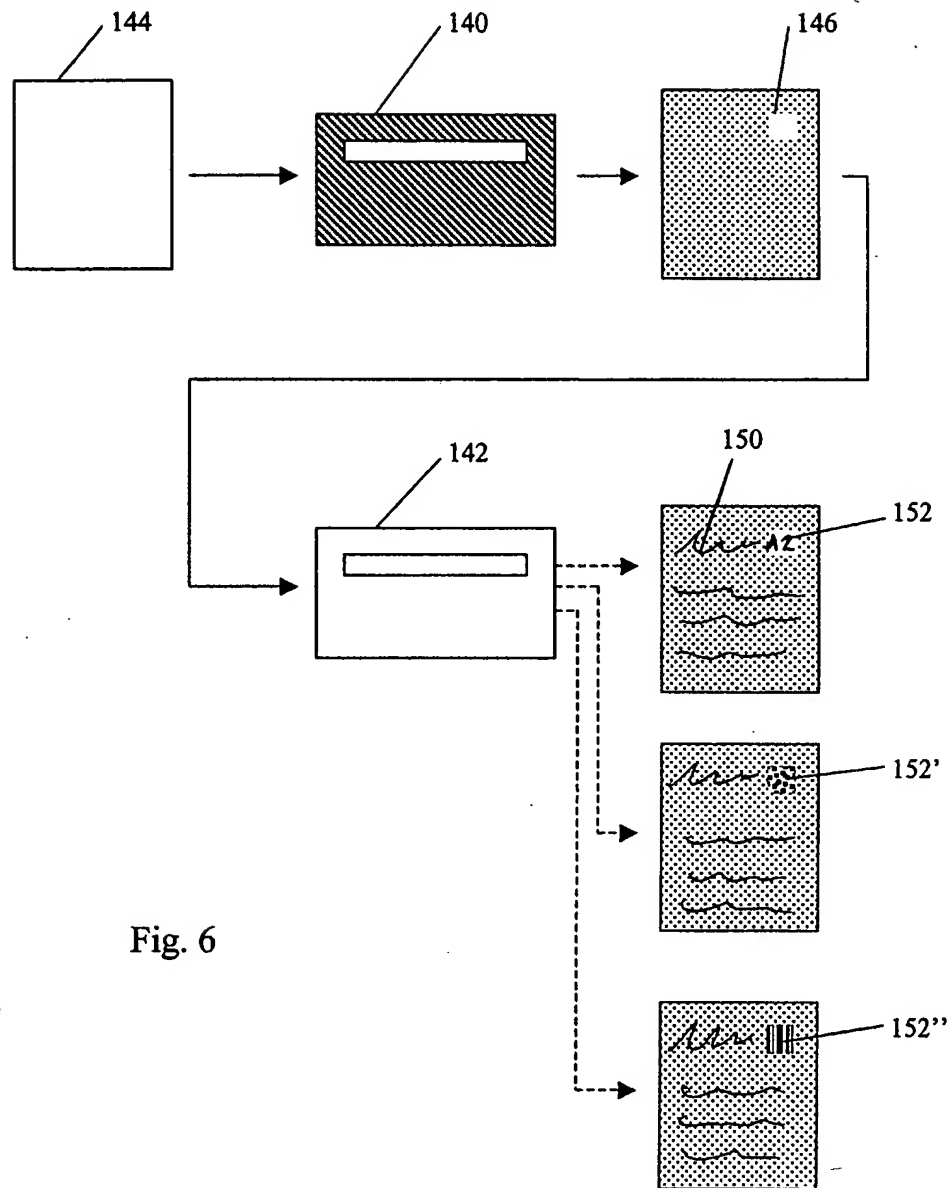


Fig. 6

11/26

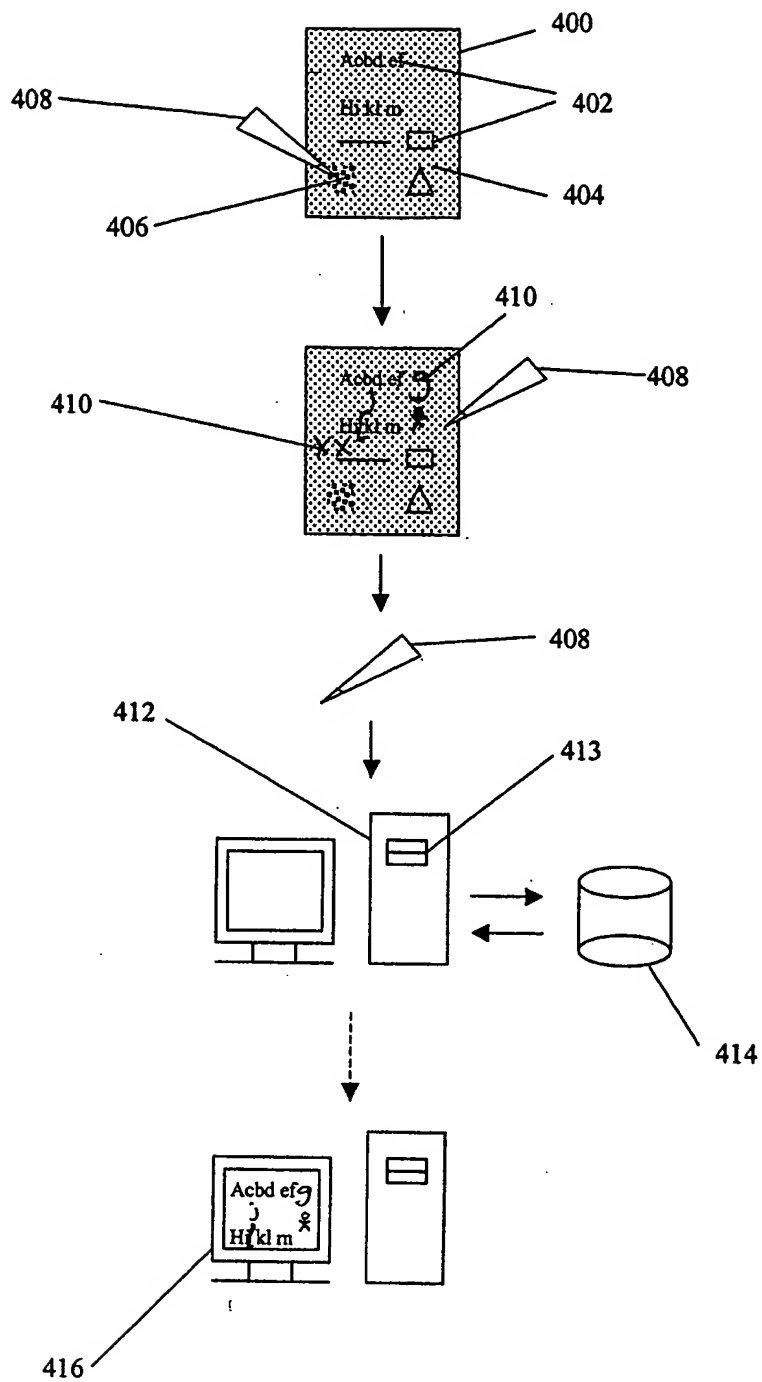


Fig. 6a

12/26

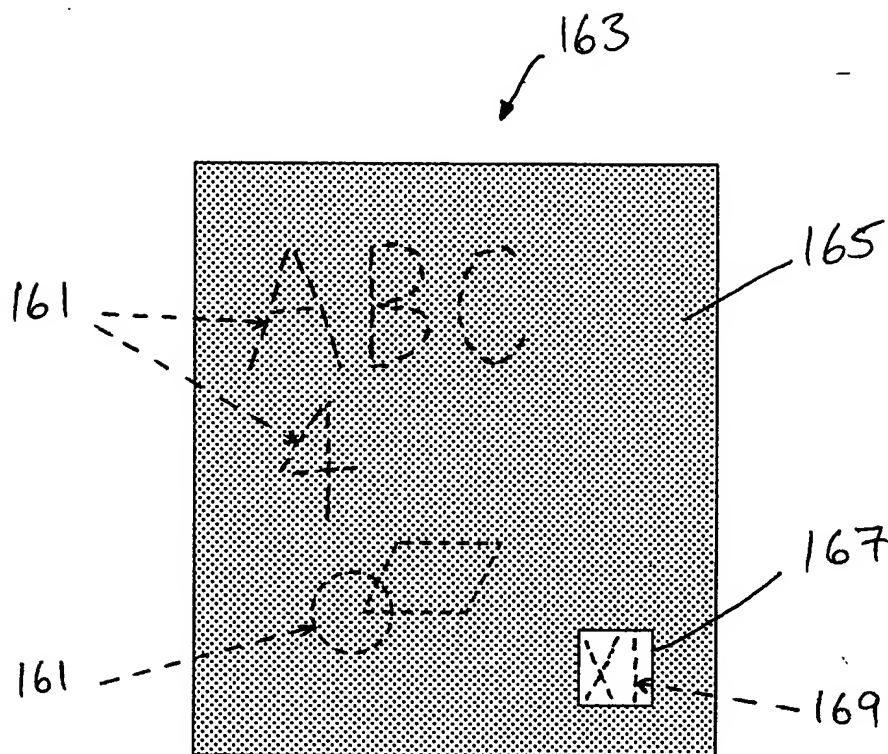


Fig. 7

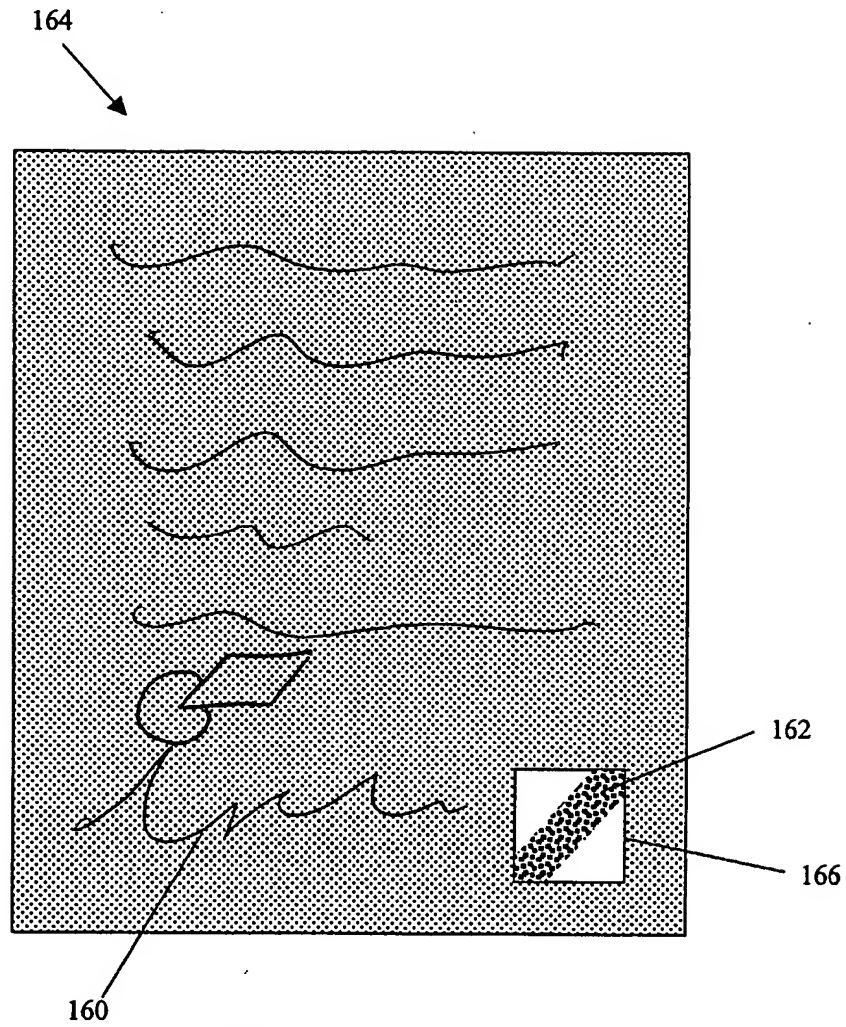


Fig. 7a

14/26

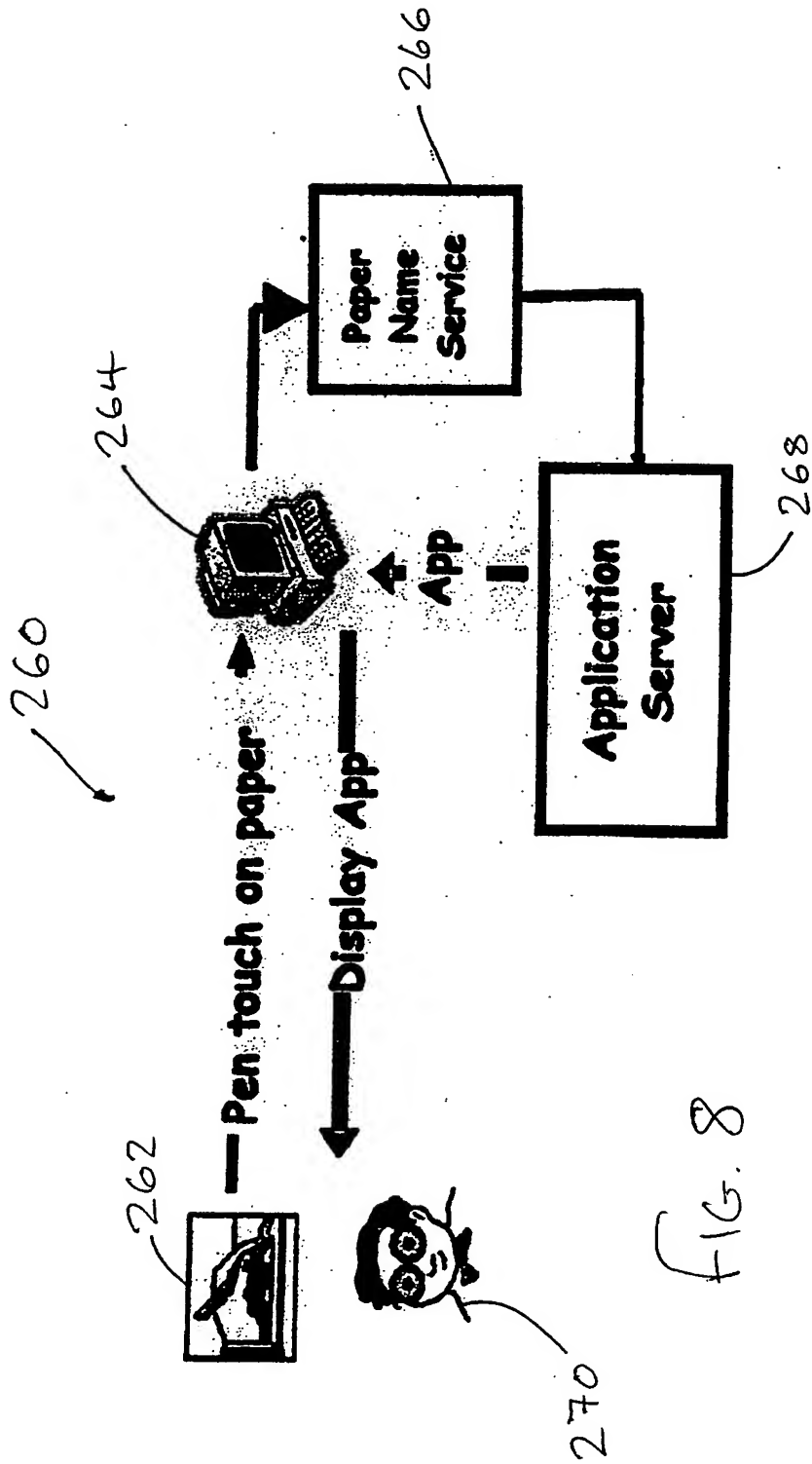


FIG. 8

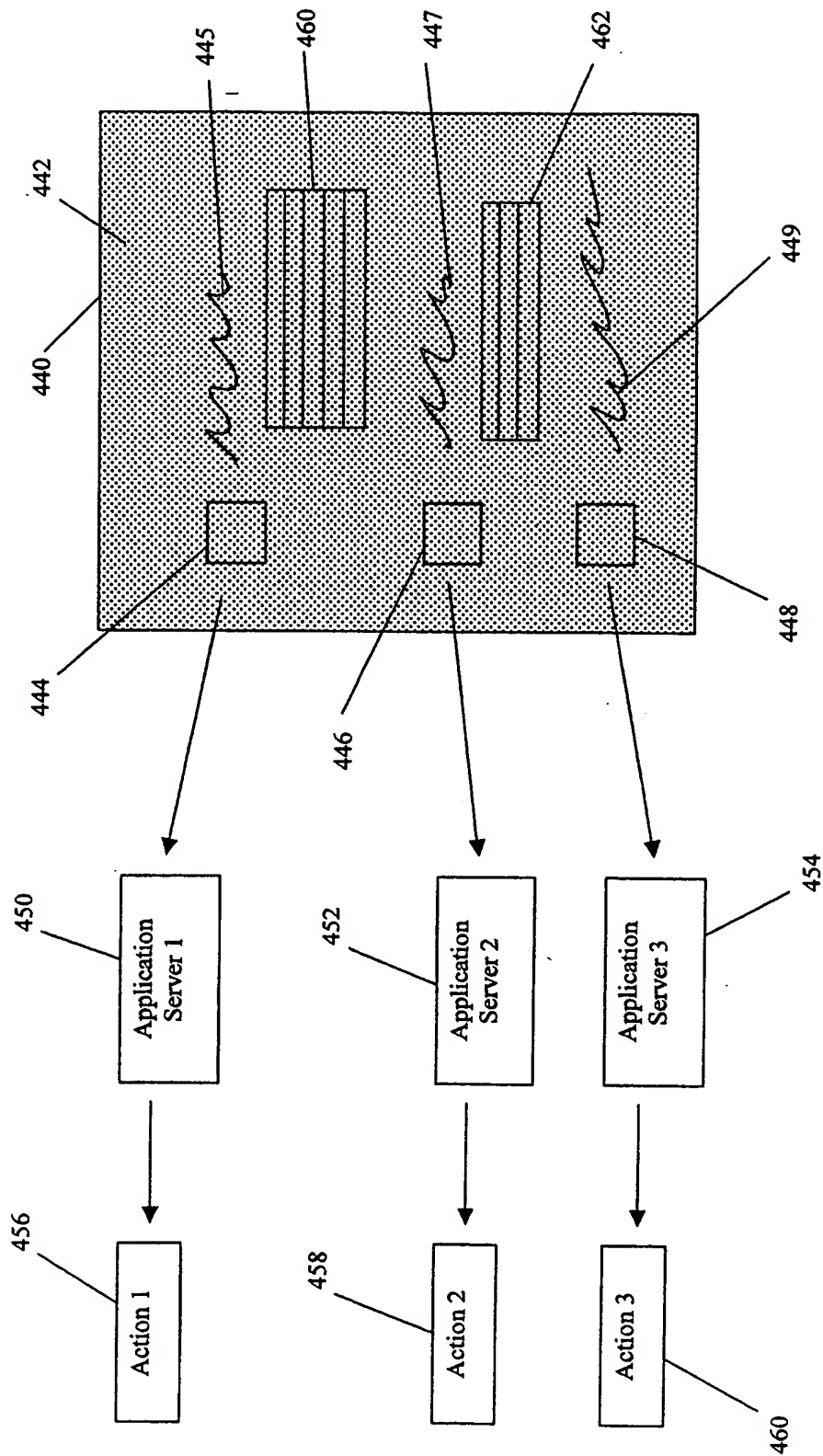


Fig. 8a

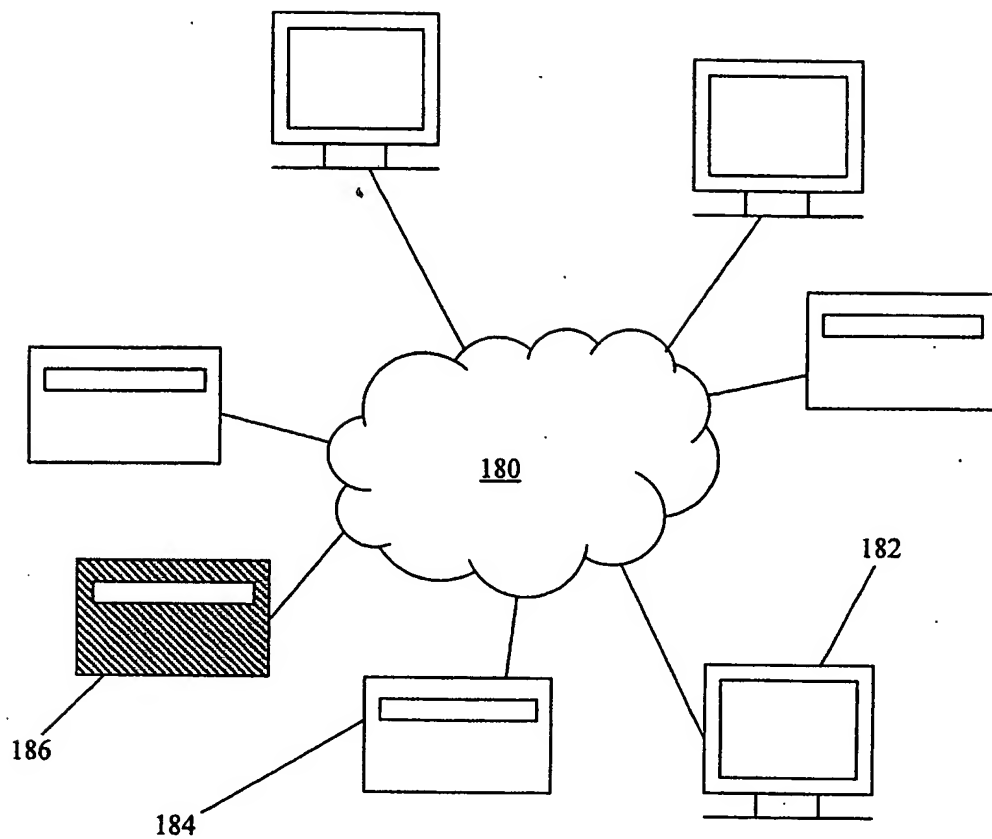


Fig. 9

17/26

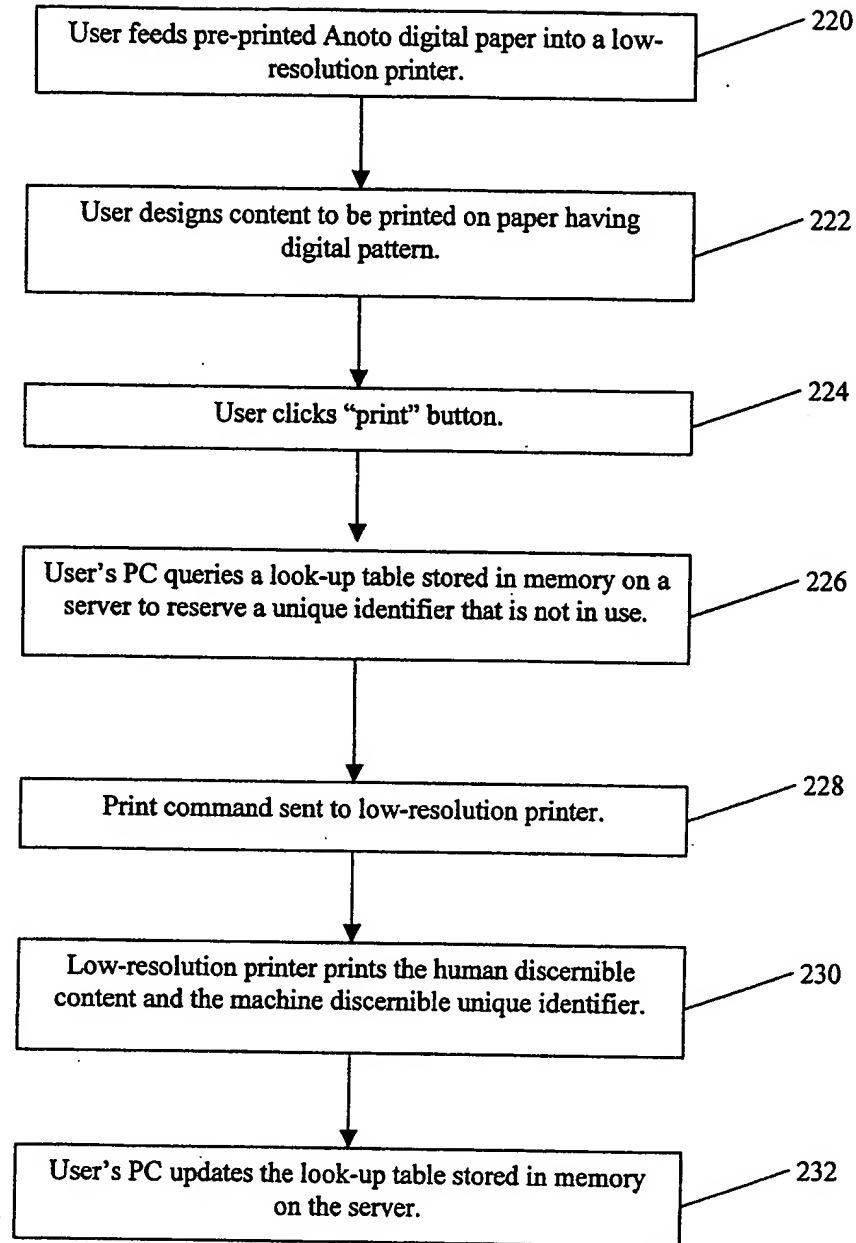


Fig. 10

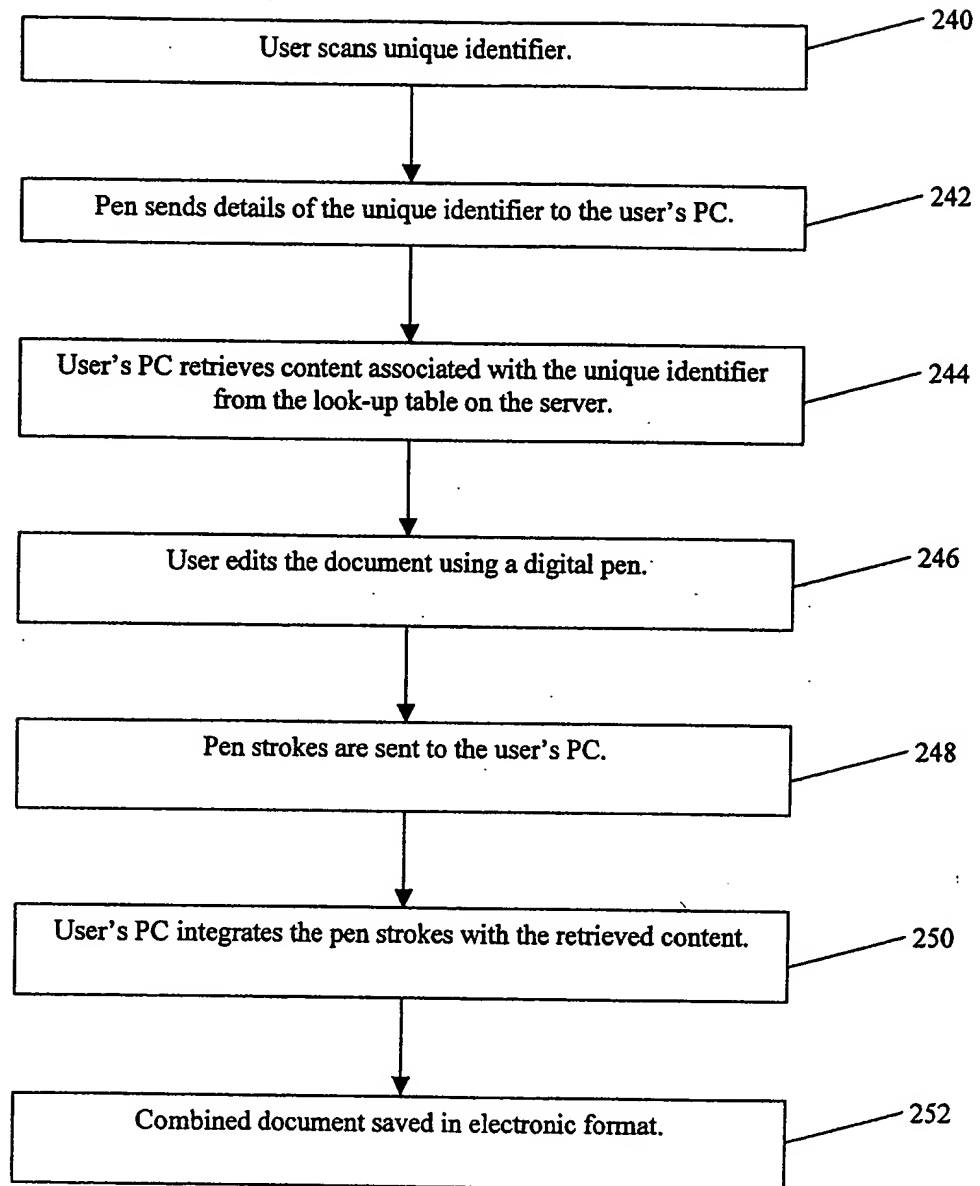


Fig. 11

19/26

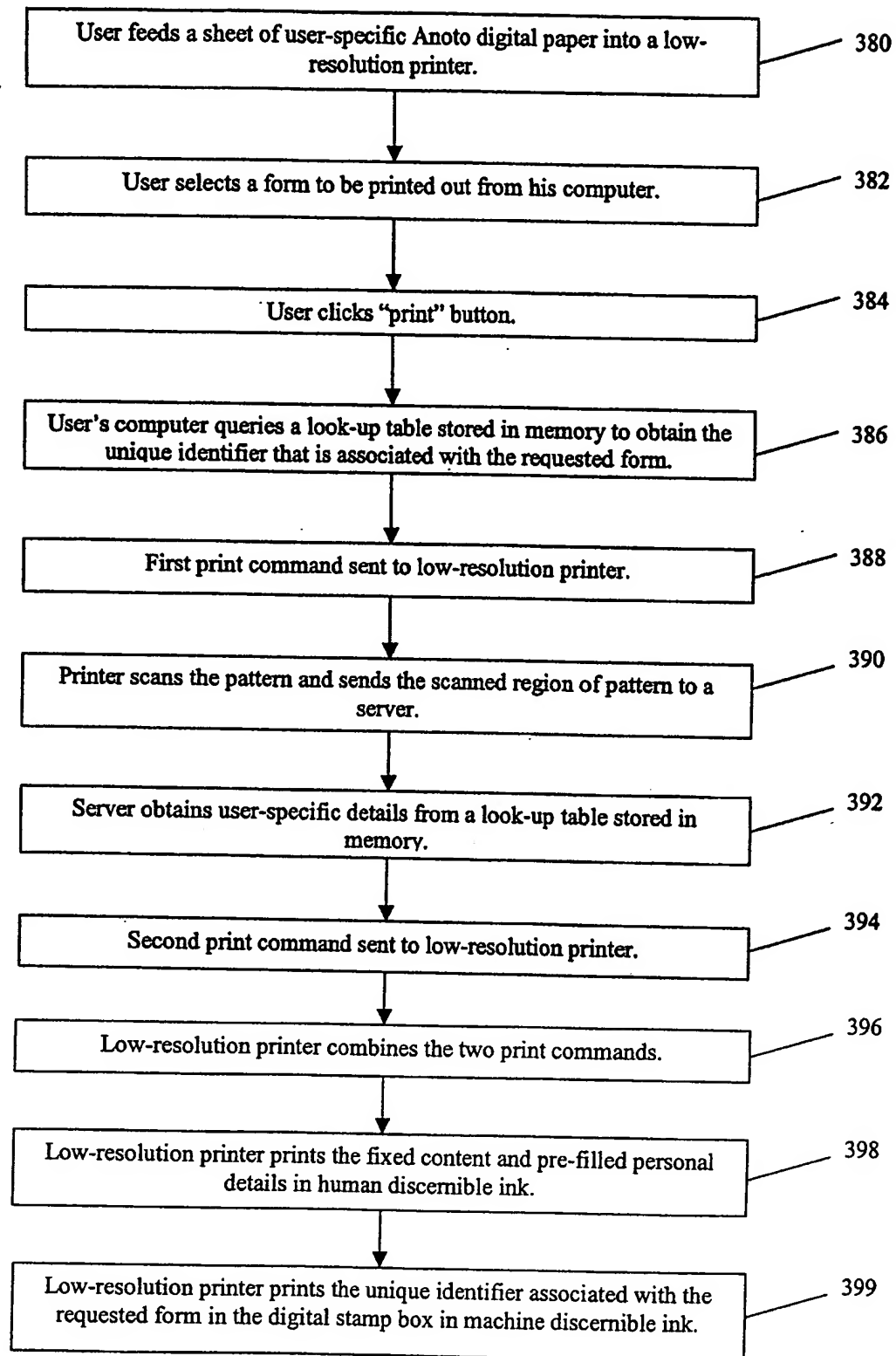


Fig. 12

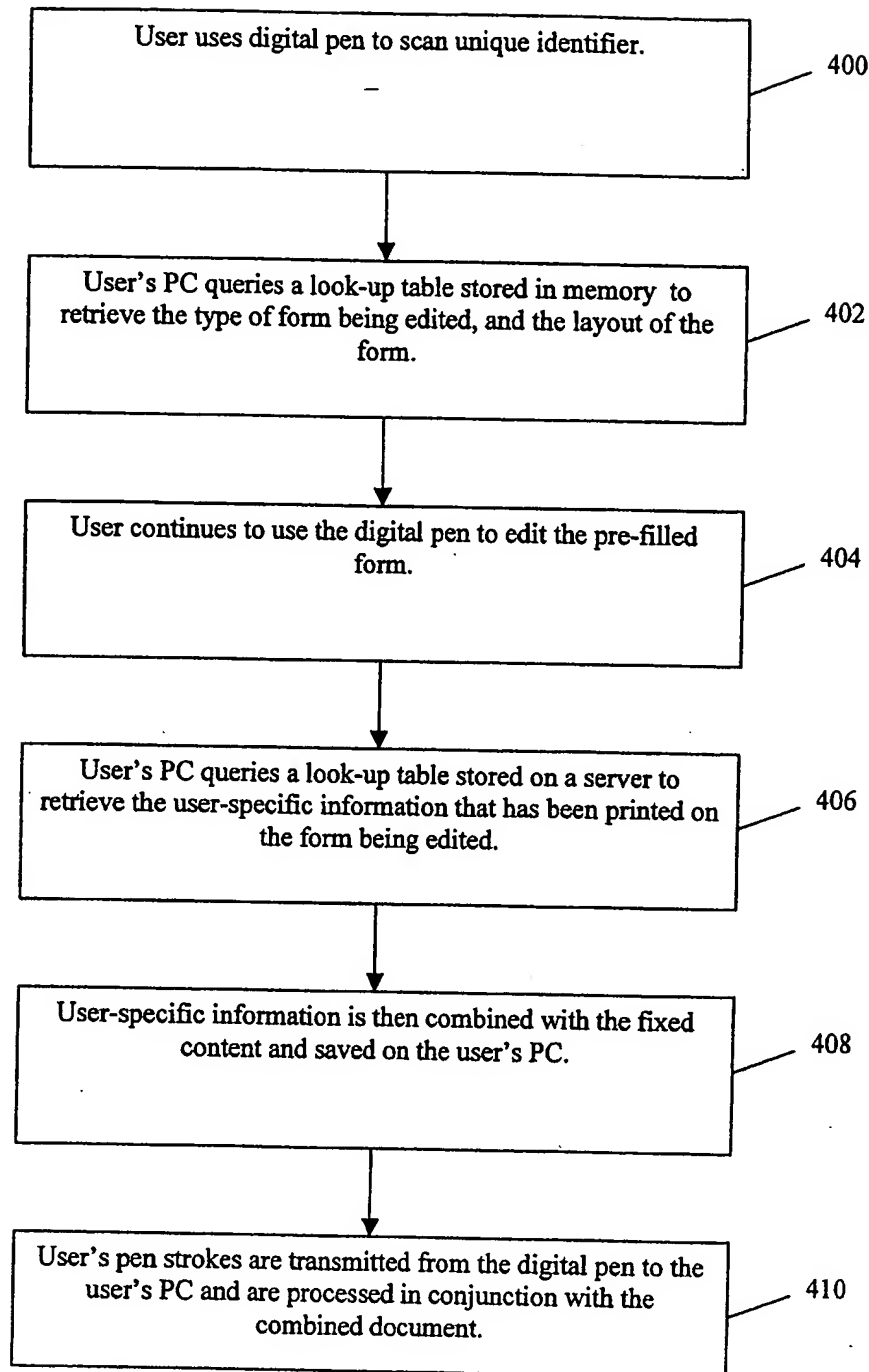


Fig. 13

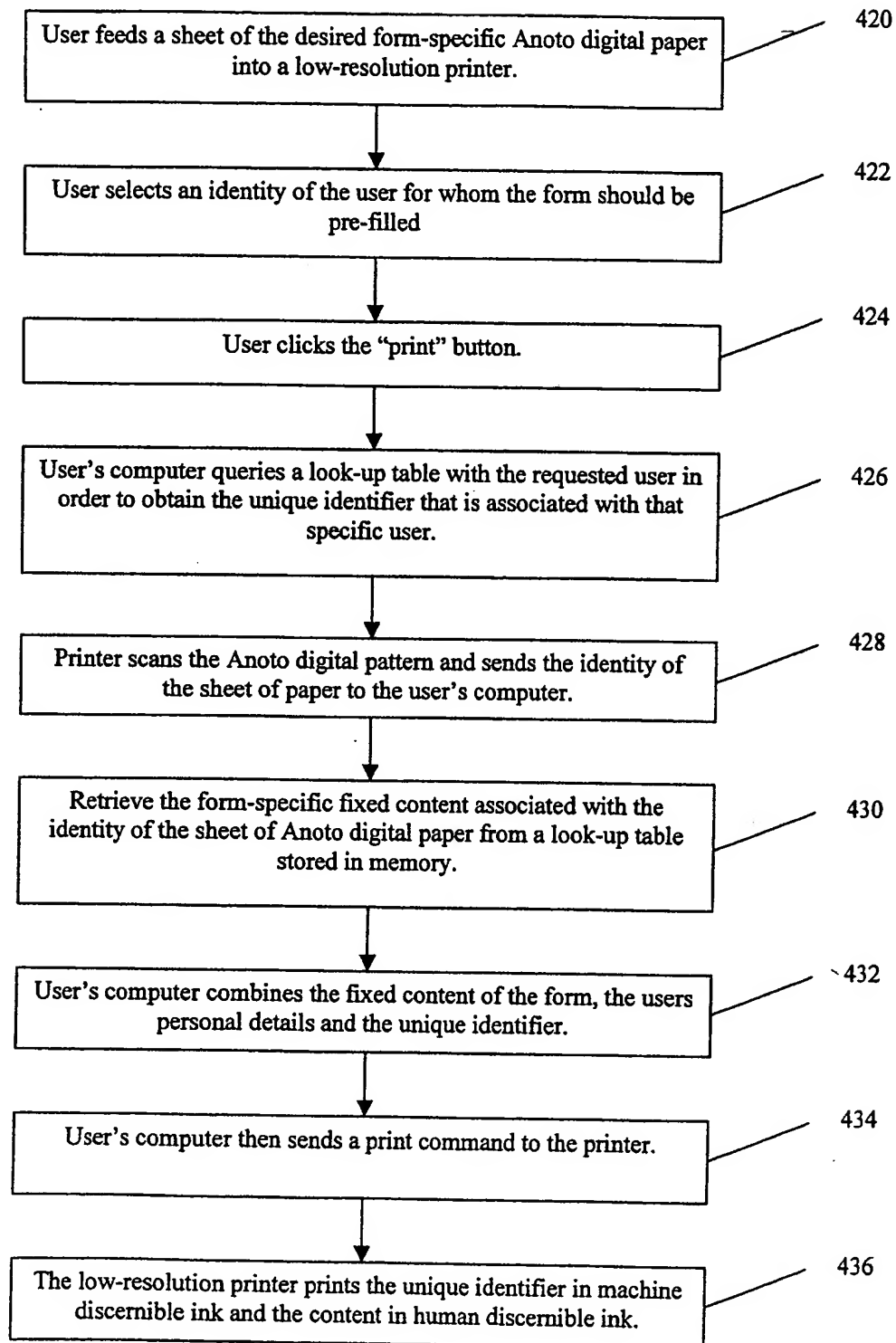


Fig. 14

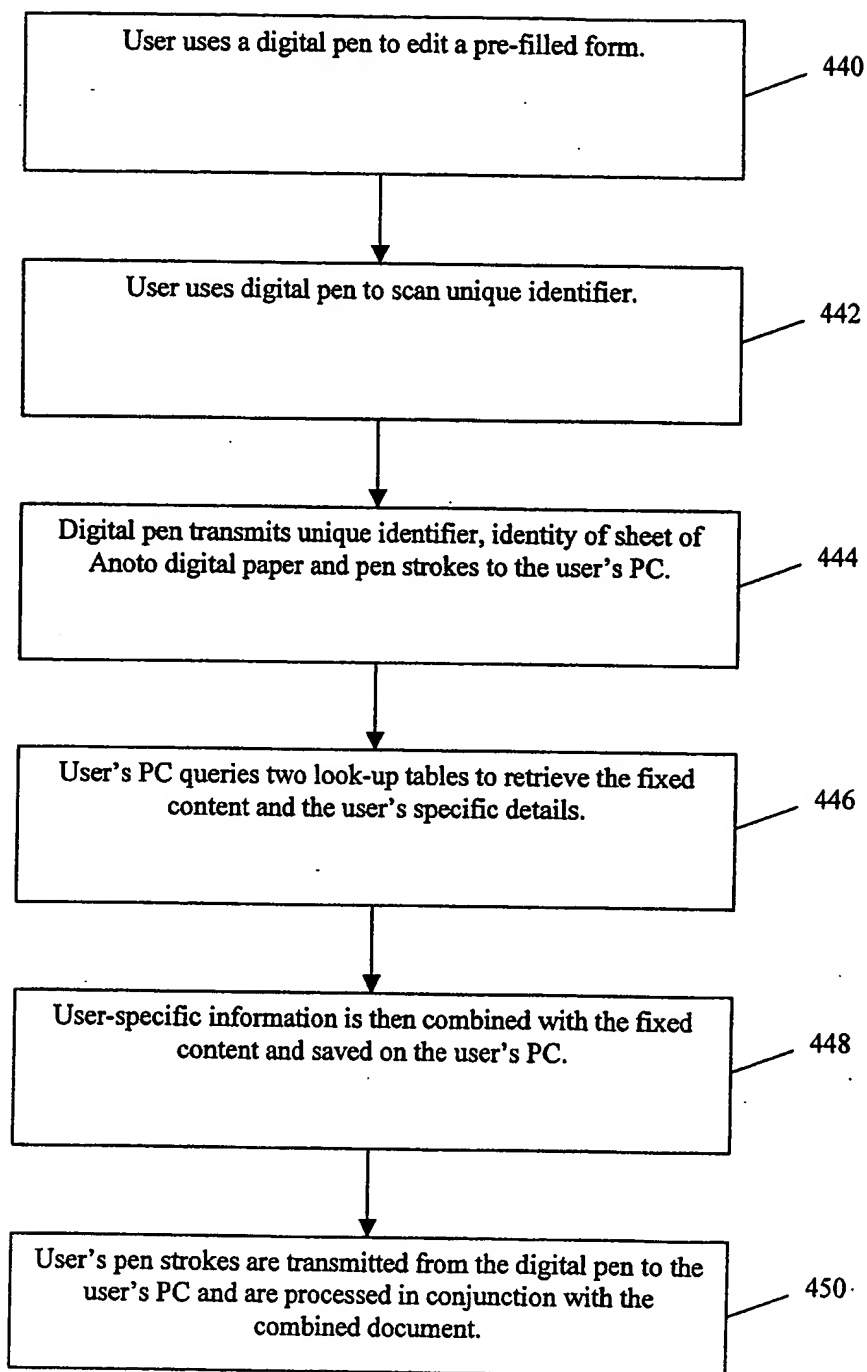


Fig. 15

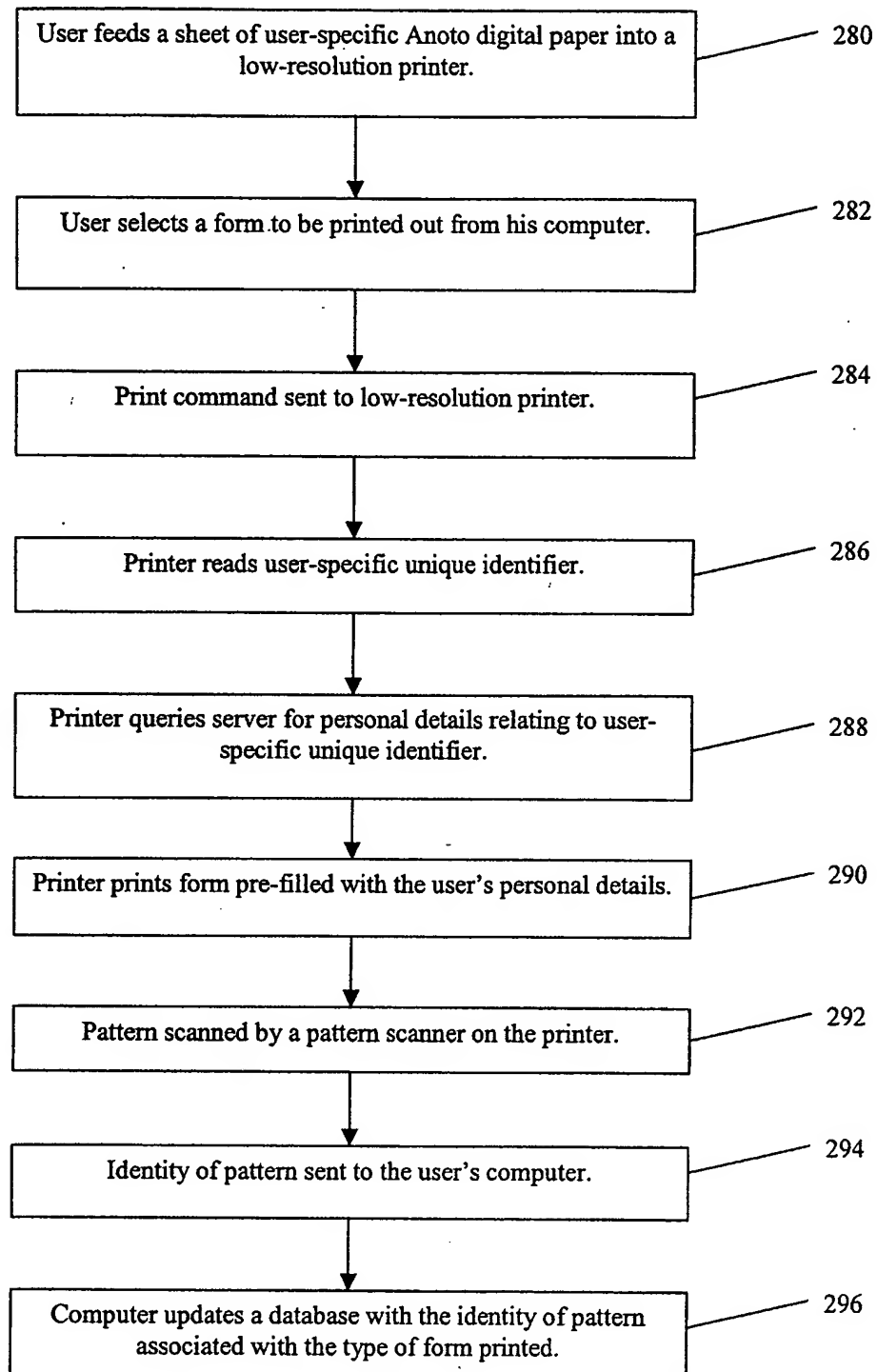


Fig. 16

24/26

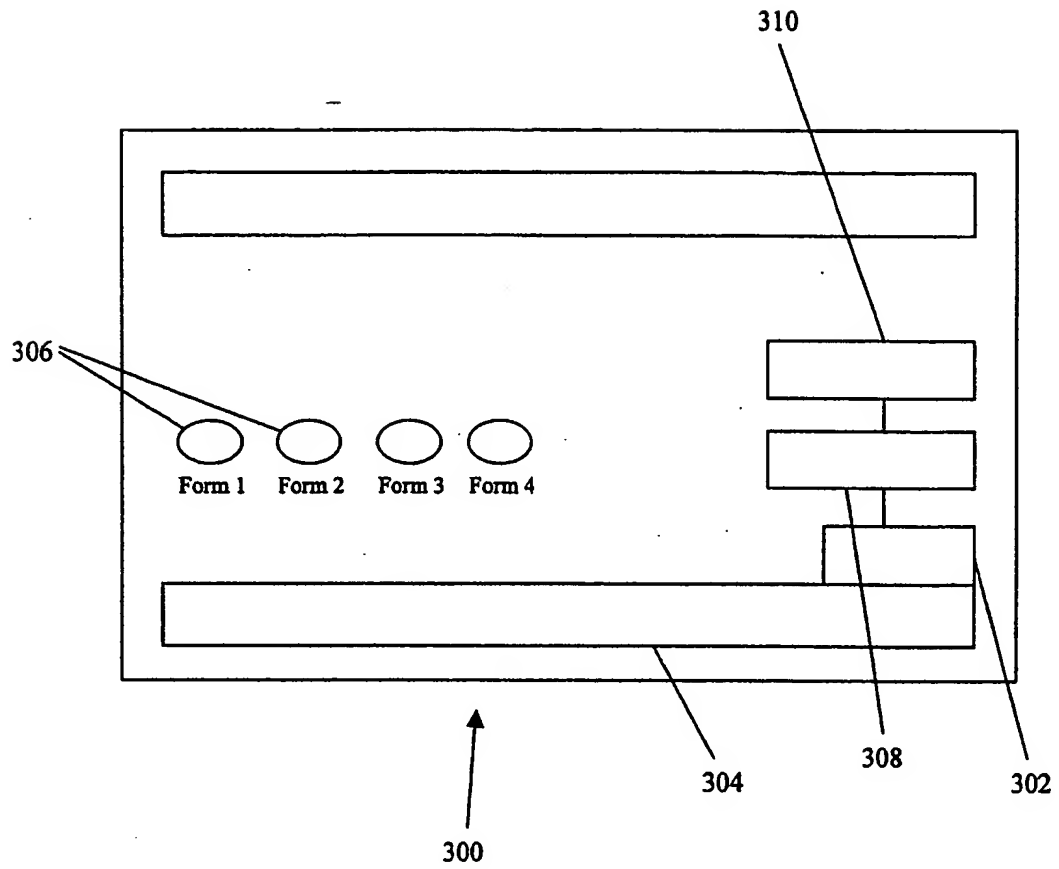


Fig. 17

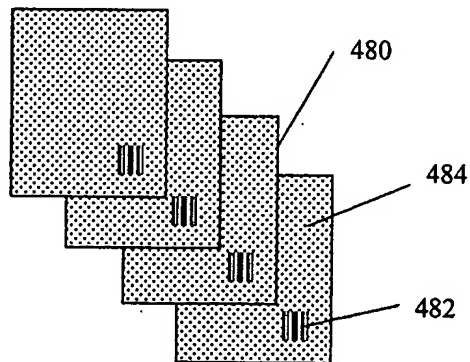


Fig. 20

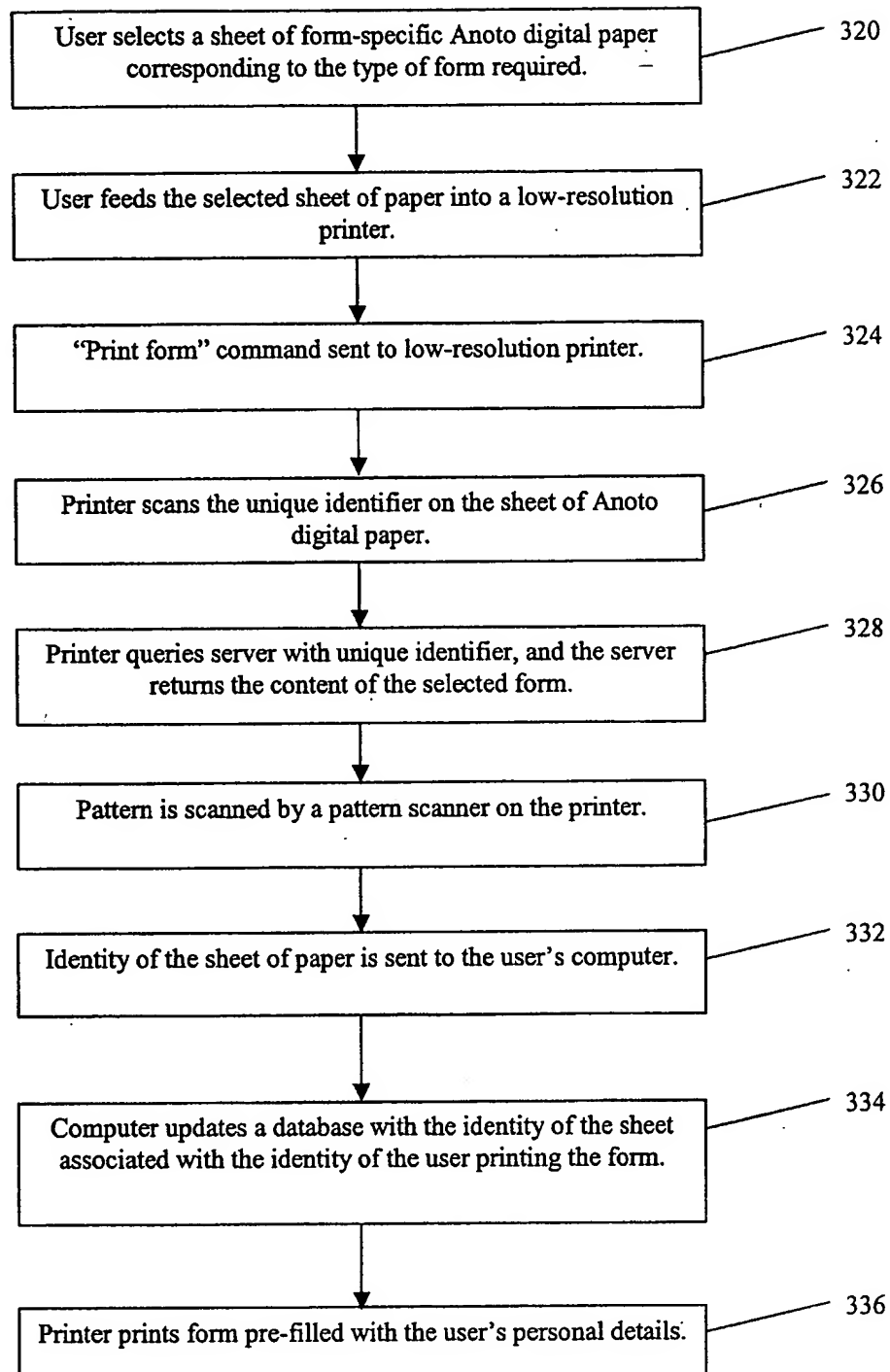


Fig. 18

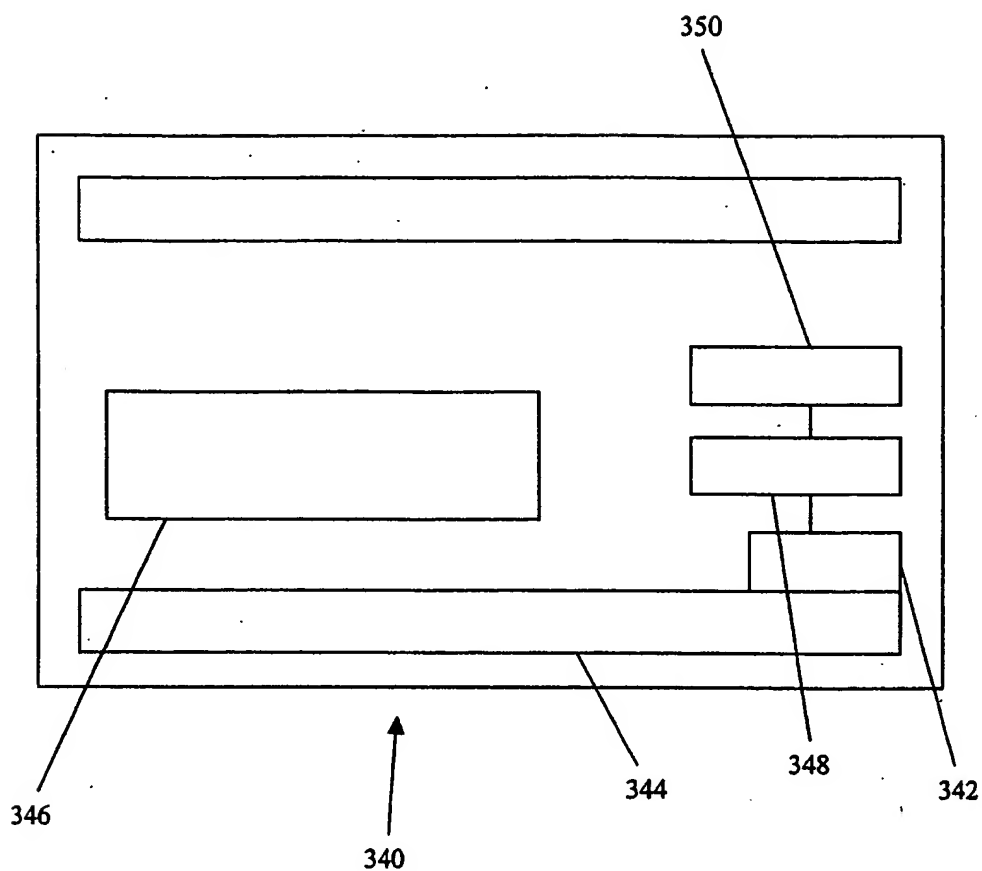


Fig. 19

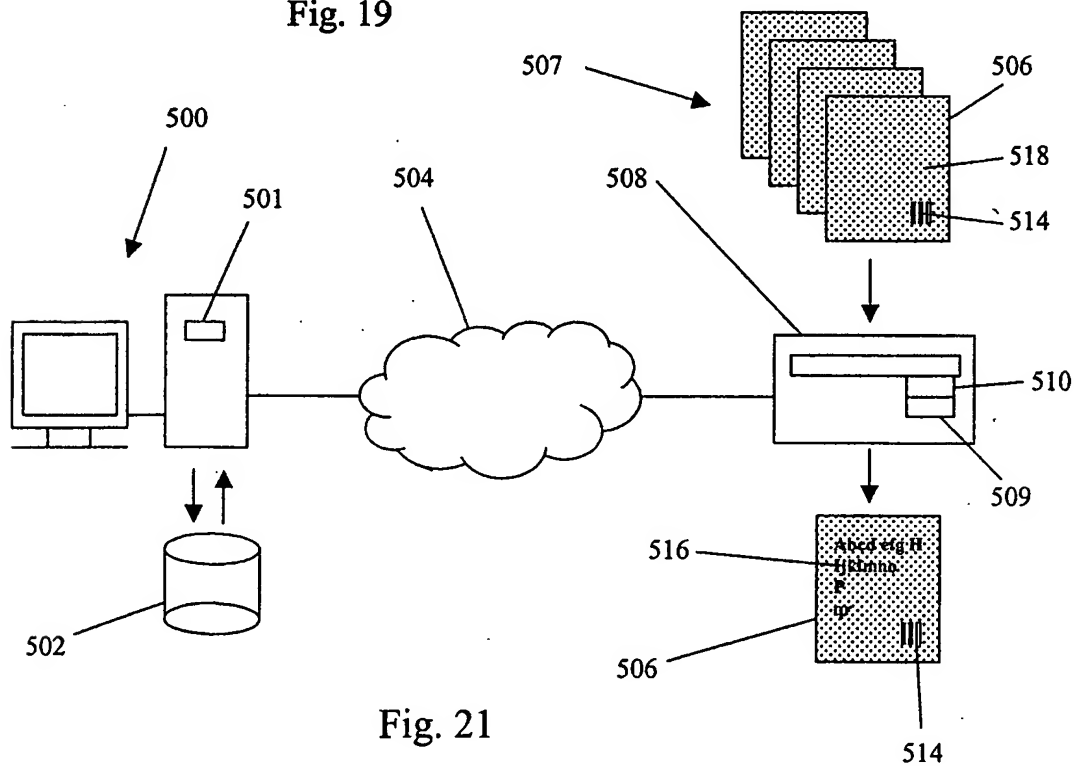


Fig. 21